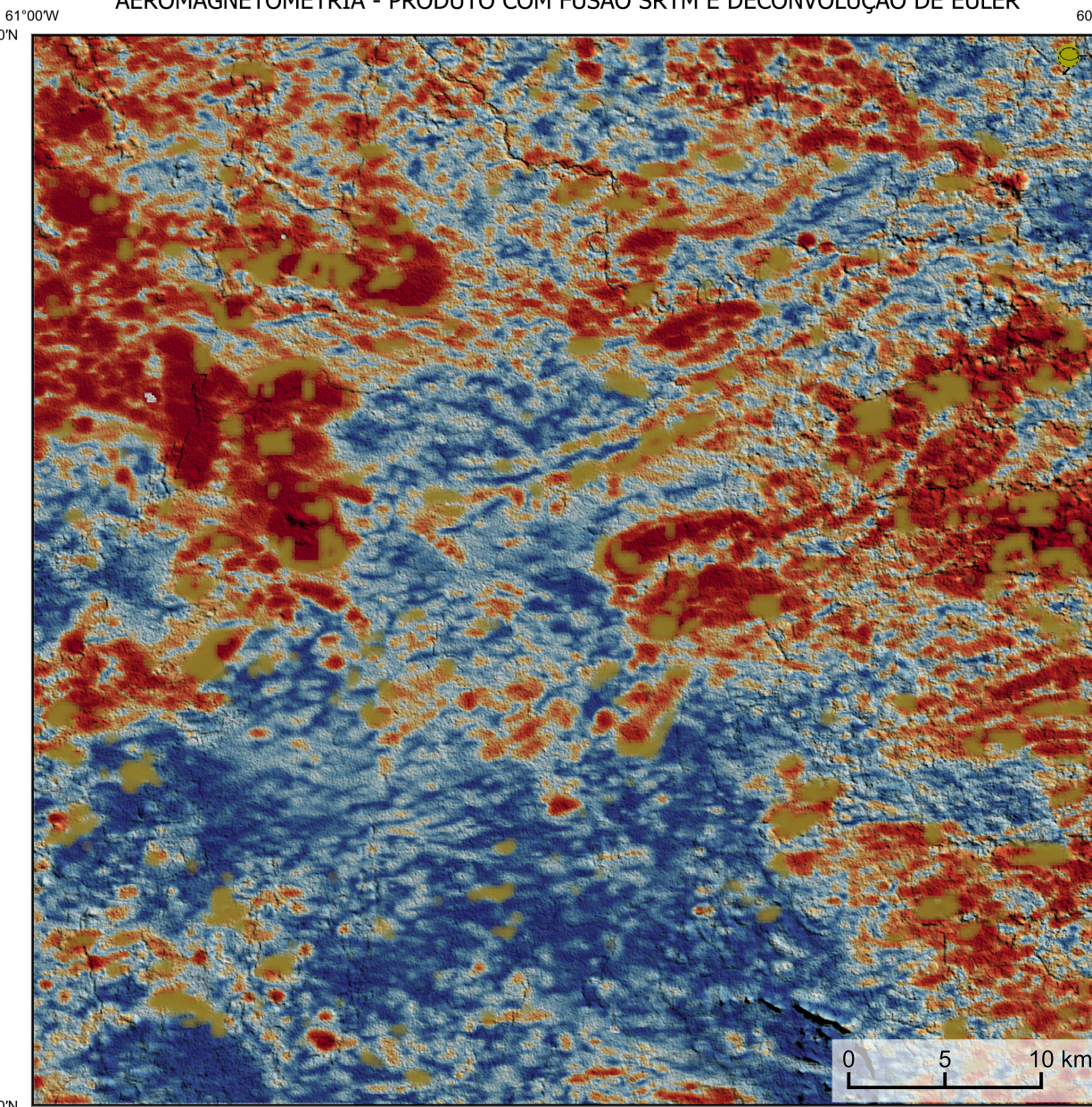


Mostra a variação das concentrações relativas dos três radioelementos relacionando-os com os cores vermelho (R-vermelho (%)), verde (G-verde) (eTh, ppm) e azul (B-azul) (eU, ppm). O espectro de cores varia desde o branco, quando coincidente as máximas concentrações relativas nos três radioelementos, até o preto, para os mínimos cores relativas.

AEROMAGNETOMETRIA - PRODUTO COM FUSÃO SRTM E DECONVOLUÇÃO DE EUER



No mapa de gradiente total a anomalia magnética é centralizada em relação ao corpo causativo, o centro dipolar é suprimido, o que simplifica a interpretação. Todavia, dimensões horizontais em relação ao corpo causativo são extrapoladas. Recomenda-se a utilização deste produto para realçar a distribuição de rochas/minerais magnéticos na área, e também como forma de simplificar a interpretação dos usuários. A deconvolução Euler utiliza derivadas do campo magnético anômalo para estudar a geometria das fontes magnetometrícias localizadas em subsuperfície. Neste trabalho foi empregado o índice 1 para a deconvolução de Euler com o intuito de realçar as estruturas lineares magnéticas da área.

MODELO DIGITAL DO TERRENO E BASE CARTOGRÁFICA COM A IDENTIFICAÇÃO DAS ESTAÇÕES GEOQUÍMICAS DE SEDIMENTOS DE CORRENTE (QUANDO EXISTIR)

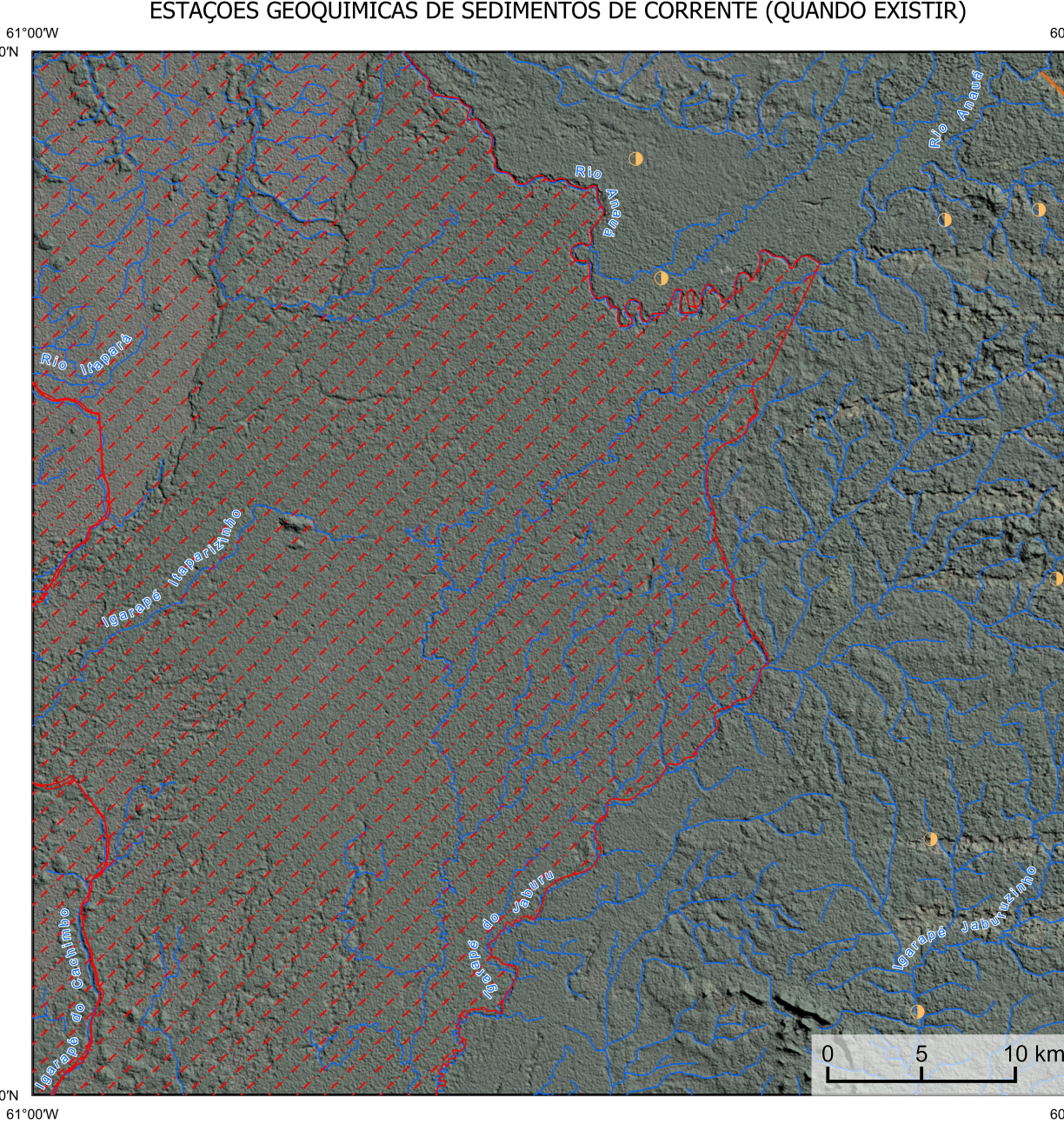
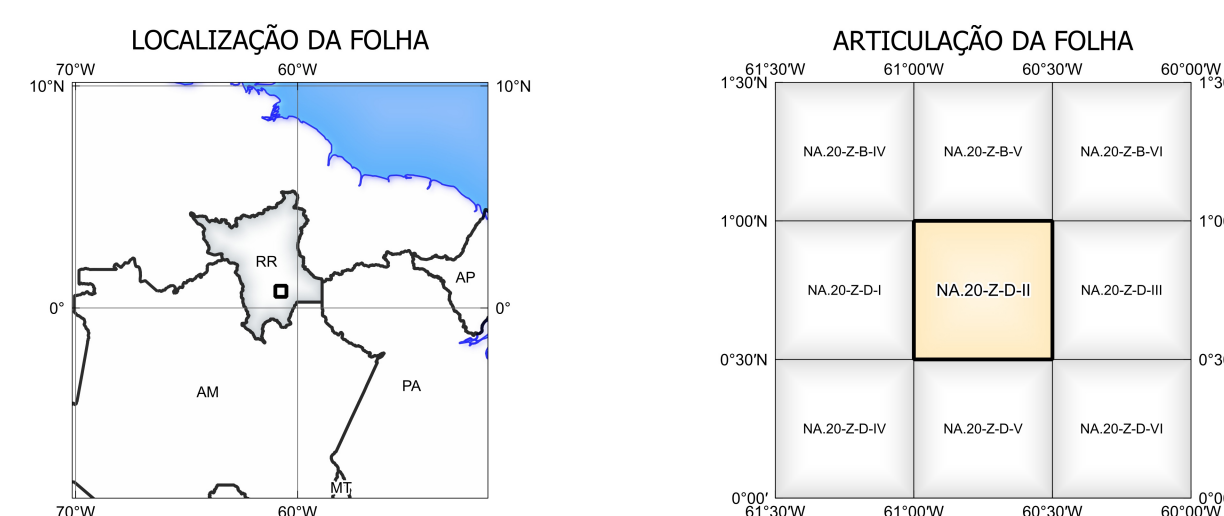
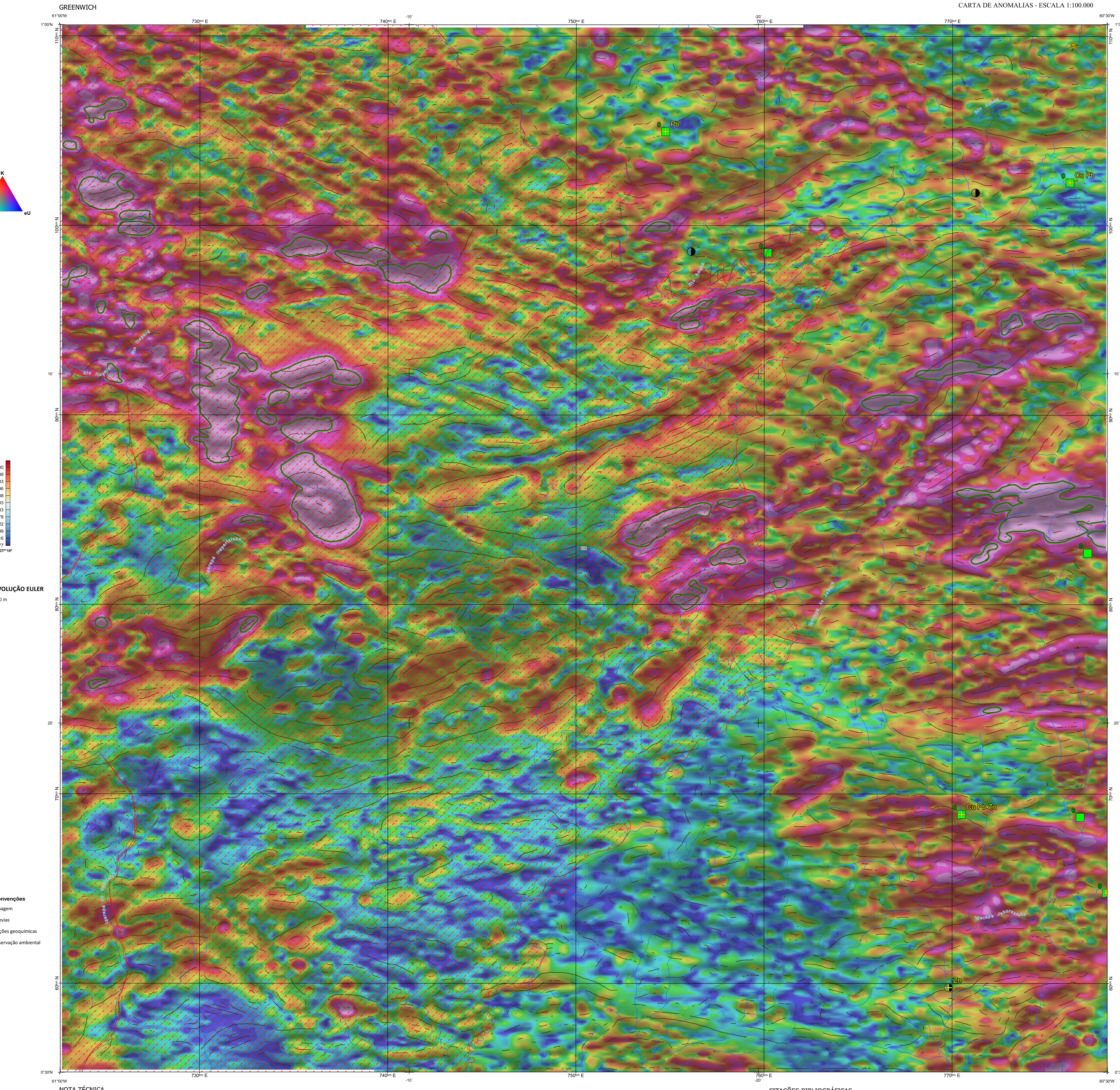


IMAGEM GOOGLE EARTH - NOVEMBRO 2022.

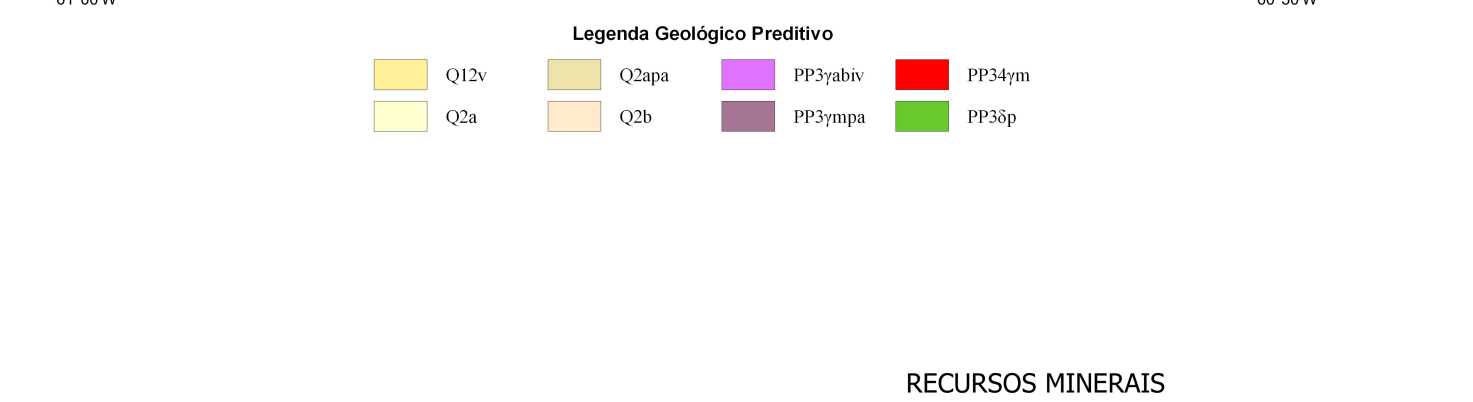
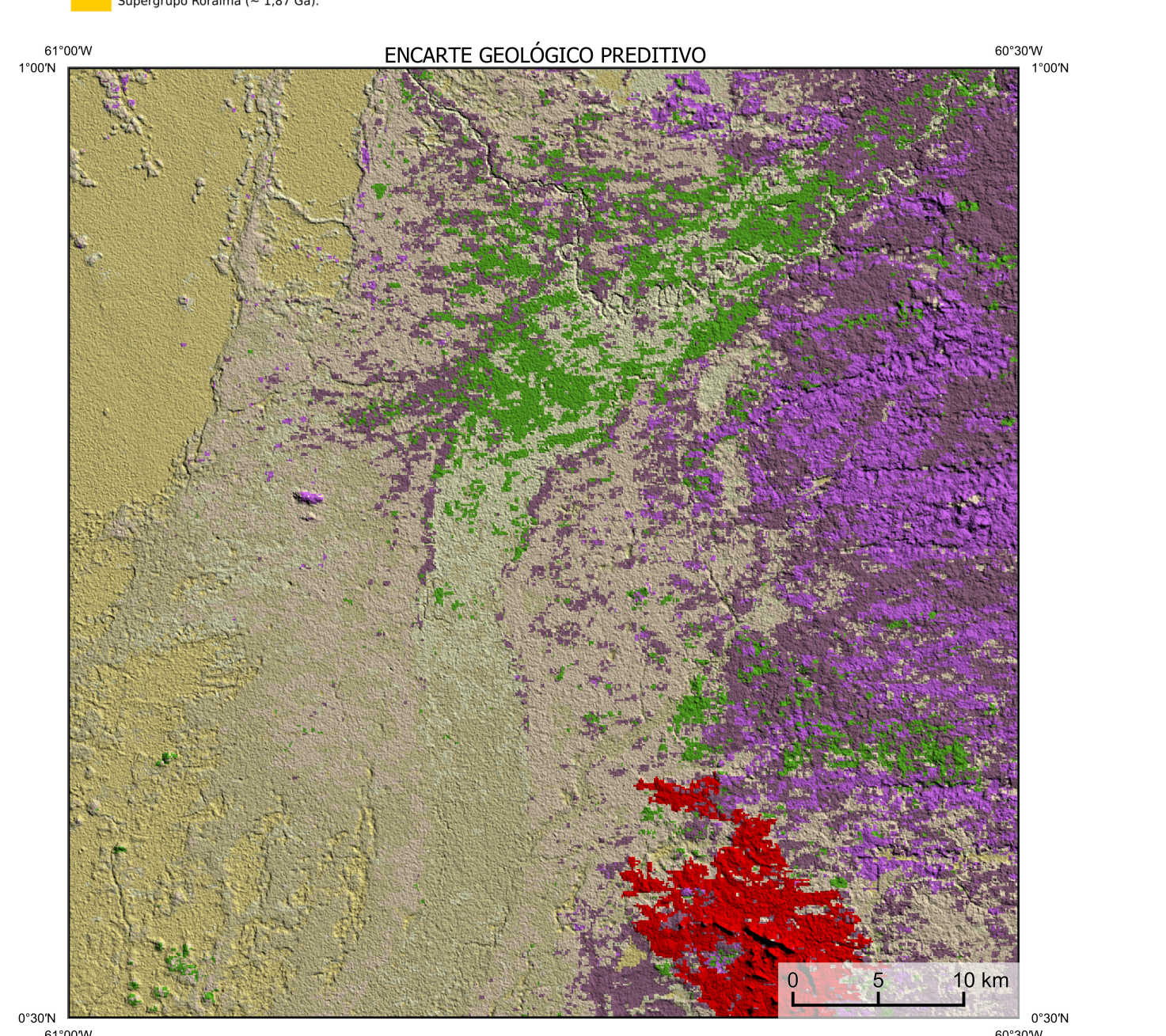
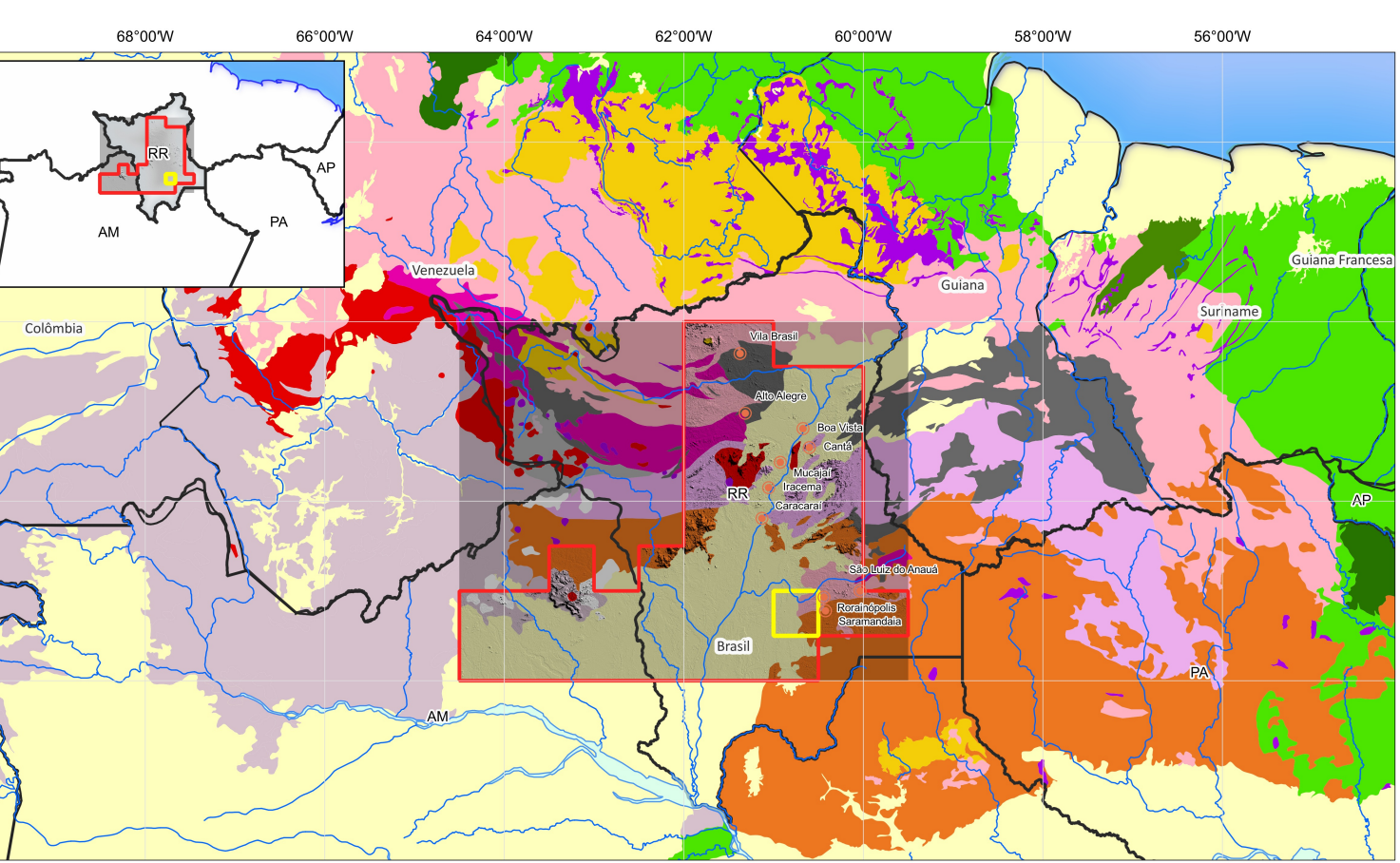


FOLHA NA.20-Z-D-II



CITAÇÕES BIBLIOGRÁFICAS

- CHEN, T., & GUESTIN, C., 2016. XGBoost: A Scalable Tree Boosting System. In Proceedings of the 22nd ACM SIGKDD International Conference on Knowledge Discovery and Data Mining (pp. 785–794). New York, NY, USA: ACM. <https://doi.org/10.1145/2939672.2959785>.
- COSTA, I. S. L.; TAVARES, F. M.; DE OLIVEIRA, J. K. M., 2019. Predictive geological mapping through machine learning methods: a case study in the Brazilian Amazon. Journal of Applied Geophysics, v. 161, p. 26–36, 2019.
- COSTA, I. S. L.; SERAFIM, I. C. C. D. O.; TAVARES, F. M.; POL, O. H., J. D. O., 2020. Uranium anomalies detection through Random Forest regression. Exploration Geophysics, <https://doi.org/10.1080/08993988.2020.1725387>.
- CRACKNELL, M. J.; READING, A., 2014. Geological mapping using remote sensing data: A comparison of five machine learning algorithms, their regression modeling and the use of explicit spatial information. Computers & Geosciences, v. 63, p. 22–33.
- HOLDEN, E. J.; DENITH, M.; KOVSEI, P., 2008. Towards the automated analysis of regional aeromagnetic data to identify regions prospective for gold deposits. Computer & Geosciences, v. 34, 1505–1511.



Convenções Cartográficas

Status e Classe Genética

Substância e Morfologia

Legenda Geológico Preditivo

Principais Geologias

Geocímica

Convenções Cartográficas

Lineamentos Geofísicos

Anomalias Geofísicas

Convenções Cartográficas